

01;14

## Модифицированный метод флуктуационного анализа нестационарных процессов

© А.Н. Павлов<sup>1,2</sup>, О.Н. Павлова<sup>1</sup>, А.А. Короновский (мл.)<sup>1</sup><sup>1</sup> Саратовский национальный исследовательский государственный университет им. Н.Г. Чернышевского, Саратов, Россия<sup>2</sup> Саратовский государственный технический университет им. Гагарина Ю.А., Саратов, Россия

E-mail: pavlov.alexey@gmail.com

Поступило в Редакцию 29 ноября 2019 г.

В окончательной редакции 29 ноября 2019 г.

Принято к публикации 20 декабря 2019 г.

Рассматривается метод анализа флуктуаций относительно тренда (метод DFA), позволяющий изучать длительные корреляции в нестационарных процессах. Предлагается его модификация, предусматривающая расчет дополнительной величины — показателя скейлинга, характеризующего эффекты нестационарности в экспериментальных данных. На примере динамики скорости кровотока в церебральных сосудах продемонстрированы возможности количественного описания изменений структуры сигналов с использованием предложенной модификации метода DFA.

**Ключевые слова:** нестационарный процесс, корреляционный анализ, флуктуации, скейлинг.

DOI: 10.21883/PJTF.2020.06.49166.18136

Нестационарная динамика систем с меняющимися во времени характеристиками ограничивает применимость классических методов спектрально-корреляционного анализа. По этой причине было предложено несколько альтернативных подходов к исследованию длительных корреляций в экспериментальных данных, среди которых чаще других используется метод анализа флуктуаций относительно тренда (detrended fluctuation analysis, DFA) [1,2]. Метод DFA имеет две характерные особенности: 1) вместо спадающей корреляционной функции он вводит в рассмотрение возрастающую функцию, которая обеспечивает более надежное оценивание степенных закономерностей для длительных корреляций, особенно при наличии помех и ограничений объема выборки; 2) составной частью алгоритма вычислений являются аппроксимация и последующее устранение низкочастотного тренда, позволяющие применять метод как для стационарных, так и для нестационарных процессов без их предварительной фильтрации. Эти обстоятельства определили широкое использование DFA, например, при обработке экспериментальных данных в физиологии и медицине [3–5], а также в различных областях физики [6–12]. Несмотря на значительное число опубликованных работ, возможность изучения сильно нестационарных данных на основе DFA продолжает дискутироваться. Некоторые исследователи полагают, что в этом случае сказываются ограничения метода и необходимо применять подходы, не использующие процедуру аппроксимации тренда [13], тогда как другие коллективы продолжают отдавать предпочтение именно DFA [14–16].

В настоящей работе мы предлагаем модификацию метода анализа флуктуаций относительно тренда для сильно нестационарных процессов, которая предусматривает

расчет дополнительной характеристики — показателя скейлинга, описывающего эффекты нестационарности. На примере динамики церебрального кровотока мы проиллюстрируем возможности количественного описания изменений структуры сигналов с использованием предлагаемой модификации.

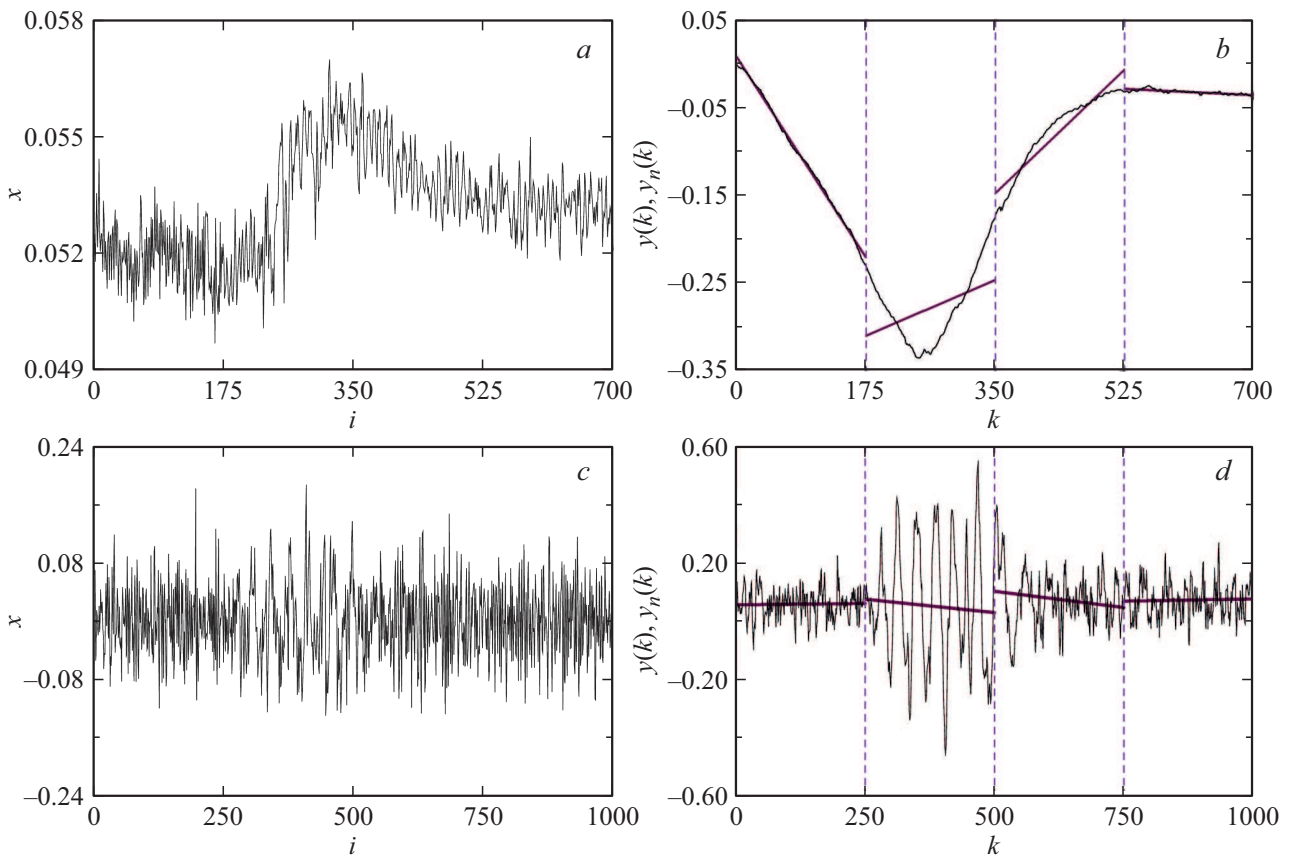
В первоначальном варианте метод DFA включал следующие операции: построение профиля сигнала  $x(i)$ ,  $i = 1, \dots, N$ ,

$$y(k) = \sum_{i=1}^k [x(i) - \langle x \rangle], \quad \langle x \rangle = \frac{1}{N} \sum_{i=1}^N x(i), \quad k = 1, \dots, N, \quad (1)$$

разделение профиля  $y(k)$  на сегменты одинаковой длины  $n$  с аппроксимацией локального тренда  $y_n(k)$  в пределах каждого сегмента и расчет среднеквадратичного отклонения

$$F(n) = \sqrt{\frac{1}{N} \sum_{k=1}^N [y(k) - y_n(k)]^2} \sim n^\alpha. \quad (2)$$

Аппроксимация обычно осуществляется с помощью кусочно-линейных функций или полиномов. Для вычисления величины  $\alpha$  (показателя степенной зависимости (2) или показателя скейлинга метода DFA [1,2]) сегментация профиля и расчет  $F(n)$  должны проводиться в широком диапазоне значений  $n$ . Показатель  $\alpha$  характеризует наличие положительных корреляций ( $\alpha > 0.5$ ) и антикорреляций ( $\alpha < 0.5$ ). Для стационарных процессов он связан с показателями, описывающими спад автокорреляционной функции и спектральной плотности мощности [17], хотя оценки скорости спада могут различаться для разных подходов [18].



**Рис. 1.** Анализируемые нестационарные процессы, демонстрирующие изменения среднего уровня (а) и чередование участков с разными статистическими характеристиками (с), и соответствующие им профили с кусочно-линейной аппроксимацией тренда (b, d). В обоих примерах среднеквадратичное отклонение профиля от линейной аппроксимации тренда значительно больше для второго сегмента по сравнению с остальными.

Рассмотрим нестационарный процесс, содержащий значительные изменения среднего уровня (рис. 1, а) или чередование участков с разными статистическими характеристиками (рис. 1, с). В обоих примерах стандартные отклонения от аппроксимирующей функции сильно различаются для разных сегментов (рис. 1, b, d), и если в первом случае низкочастотный тренд можно устранить на этапе предварительной обработки, проведя фильтрацию, то во втором случае фильтрация может не повлиять на нестационарность анализируемых данных, если она связана, например, с изменением дисперсии сигнала при постоянном среднем уровне. В рамках метода DFA отличия локальных значений стандартных отклонений, вычисленных для разных сегментов, не учитываются, хотя они могут оказывать существенное влияние на зависимость  $F(n)$ . Мы предлагаем ввести в рассмотрение дополнительную меру, которая характеризует эффекты нестационарности:

$$dF(n) = \max[F_{loc}(n)] - \min[F_{loc}(n)], \quad (3)$$

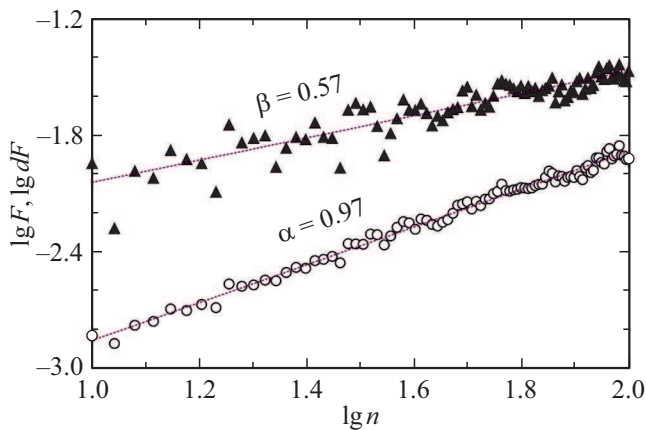
где  $F_{loc}(n)$  — локальные среднеквадратичные отклонения профиля сигнала  $y(k)$  от аппроксимации тренда  $y_n(k)$ , вычисленные в пределах одного сегмента. Для

стационарных процессов при заданном  $n$  разброс значений  $F_{loc}(n)$  будет сравнительно небольшим, и величина  $dF(n)$  приближается к нулю. При наличии сильной нестационарности  $dF(n)$  принимает значения в диапазоне от нуля до  $\max[F_{loc}(n)]$ . Обычно наблюдаются изменения  $dF(n)$  при увеличении  $n$ , и соответствующая степенная зависимость описывается другим показателем скейлинга

$$dF(n) \sim n^\beta. \quad (4)$$

На рис. 2 приведен пример различий показателей  $\alpha$  и  $\beta$  для сигнала, изображенного на рис. 1, а. Отметим, что в обоих случаях приведенные зависимости близки к линейным при выборе логарифмического масштаба по обеим осям, что свидетельствует о выполнении степенных закономерностей для  $F(n)$  и  $dF(n)$ , которые описываются соответственно формулами (2) и (4).

Проиллюстрируем применение предлагаемого модифицированного подхода для решения задачи диагностики функциональных изменений в динамике церебральных кровеносных сосудов крыс при скачкообразном увеличении периферического артериального давления. В данной задаче важен анализ переходных процессов, позволяющих изучать резервные возможности организ-



**Рис. 2.** Зависимости  $F(n)$  и  $dF(n)$  в логарифмическом масштабе для сигнала, изображенного на рис. 1,  $\alpha$ , показывающие различие показателей  $\alpha$  и  $\beta$ .

ма. Описание методики проводимых физиологических экспериментов приведено в работе [19]. Регистрация сигналов церебрального кровотока в крупных и мелких кровеносных сосудах в течение 5 min осуществлялась методом лазерной спекл-интерферометрии [20] в соответствии с практическими рекомендациями [21]. Этот метод обеспечивает возможность исследования сравнительно больших участков без процедуры сканирования, например позволяет осуществлять одновременную запись относительной скорости кровотока в крупном сосуде и в сети окружающих его капилляров (проводя усреднение по выбранному фрагменту с использованием метода гистограмм [21]). Рассматривались две группы животных: в контрольном состоянии и при резком (приблизительно двукратном) повышении периферического артериального давления, вызванного введением мезатона. Наличие защитных механизмов препятствует соответствующей реакции кровеносных сосудов головного мозга, и относительная скорость церебрального кровотока сравнительно слабо меняется как в венах (увеличение составляет в среднем 2–3%), так и в сети капилляров (9–11%). Расчет показателя скейлинга  $\alpha$ , характеризующего длительные корреляции, также продемонстрировал относительно слабые реакции (около 6% для макроциркуляции и 3% для микроциркуляции), которые сопоставимы со статистическими погрешностями при анализе небольшой выборки (десять лабораторных животных). Вычисление показателя скейлинга  $\beta$  позволило диагностировать более выраженные изменения, которые примерно в 2 раза различаются для вен и капилляров по сравнению с контрольным состоянием (21% для макроциркуляции и 45% для микроциркуляции). Отметим при этом, что из рассмотрения исключался начальный участок сигнала непосредственно после скачка периферического артериального давления (2 min), который ассоциируется с наиболее заметными вариациями локального среднего уровня. Полученные

результаты свидетельствуют о том, что привлечение дополнительной характеристики в рамках предложенного модифицированного метода DFA позволяет расширить возможности диагностики структурных изменений динамики при изменении условий функционирования организма.

В настоящей работе динамика церебральных кровеносных сосудов выбрана в качестве иллюстративного примера, показывающего преимущества модификации метода анализа флуктуаций относительно тренда. Однако возможности предложенного подхода значительно шире, и он может применяться для исследования структуры нестационарных процессов в различных областях науки и техники.

### Финансирование работы

Исследование выполнено при поддержке гранта Российского научного фонда (проект № 19-12-00037).

### Соблюдение этических стандартов

Все применимые международные, национальные и/или институциональные принципы ухода и использования животных были соблюдены.

### Конфликт интересов

Авторы заявляют, что у них нет конфликта интересов.

### Список литературы

- [1] Peng C.-K., Buldyrev S.V., Havlin S., Simons M., Stanley H.E., Goldberger A.L. // *Phys. Rev. E*. 1994. V. 49. P. 1685–1689.
- [2] Peng C.-K., Havlin S., Stanley H.E., Goldberger A.L. // *Chaos*. 1995. V. 5. P. 82–87.
- [3] Kuznetsov N.A., Rhea C.K. // *PLoS ONE*. 2017. V. 12. P. e0174144.
- [4] Frolov N.S., Grubov V.V., Maksimenko V.A., Lüttjohann A., Makarov V.V., Pavlov A.N., Sitnikova E., Pisarchik A.N., Kurths J., Hramov A.E. // *Sci. Rep.* 2019. V. 9. P. 7243.
- [5] Nolte G., Aburidi M., Engel A.K. // *Sci. Rep.* 2019. V. 9. P. 6339.
- [6] Kiyono K., Tsujimoto Y. // *Physica A*. 2016. V. 462. P. 807–815.
- [7] Bhoumik G., Deb A., Bhattacharyya S., Ghosh D. // *Adv. High Energy Phys.* 2016. V. 2016. P. 7287803.
- [8] Lovsletten O. // *Phys. Rev. E*. 2017. V. 96. P. 012141.
- [9] Pavlova O.N., Abdurashitov A.S., Ulanova M.V., Shushunova N.A., Pavlov A.N. // *Commun. Nonlinear Sci. Numer. Simul.* 2019. V. 66. P. 31–40.
- [10] Pavlova O.N., Pavlov A.N. // *Physica A*. 2019. V. 536. P. 122586.
- [11] Павлов А.Н., Руннова А.Е., Максименко В.А., Павлова О.Н., Гришина Д.С., Храмов А.Е. // *Письма в ЖТФ*. 2019. Т. 45. В. 4. С. 8–10.
- [12] Павлова О.Н., Павлов А.Н. // *Письма в ЖТФ*. 2019. Т. 45. В. 18. С. 6–9.

- [13] Bryce R.M., Sprague K.B. // *Sci. Rep.* 2012. V. 2. P. 315.
- [14] Hu K., Ivanov P.C., Chen Z., Carpena P., Stanley H.E. // *Phys. Rev. E.* 2001. V. 64. P. 011114.
- [15] Chen Z., Ivanov P.C., Hu K., Stanley H.E. // *Phys. Rev. E.* 2002. V. 65. P. 041107.
- [16] Shao Y.H., Gu G.F., Jiang Z.Q., Zhou W.X., Sornette D. // *Sci. Rep.* 2012. V. 2. P. 835.
- [17] Höll M., Kantz H. // *Eur. Phys. J. B.* 2015. V. 88. P. 1–7.
- [18] Павлов А.Н., Павлова О.Н. // *Письма в ЖТФ.* 2008. Т. 34. В. 7. С. 71–78.
- [19] Semyachkina-Glushkovskaya O.V., Abdurashitov A.S., Sindeev S.S., Tuchin V.V. // *Quant. Electron.* 2016. V. 46. P. 496–501.
- [20] Boas D.A., Dunn A.K. // *J. Biomed. Opt.* 2010. V. 15. P. 011109.
- [21] Abdurashitov A.S., Lychagov V.V., Sindeeva O.A., Semyachkina-Glushkovskaya O.V., Tuchin V.V. // *Front. Optoelectron.* 2015. V. 8. P. 187–194.